

В.П. БЕЛЕНКОВ (БПИ),  
Р.Н. ПАРАЩЕНКО (БелАЗ),  
В.Г. РЕВСКИЙ (БПИ)

## НЕКОТОРЫЕ ОСОБЕННОСТИ НАГРУЖЕННОСТИ ИНДИВИДУАЛЬНОГО ЭЛЕКТРОПРИВОДА ВЕДУЩИХ КОЛЕС АВТОМОБИЛЯ ПРИ КРИВОЛИНЕЙНОМ ДВИЖЕНИИ

В карьерах горнообогатительных комбинатов эксплуатируются автомобили-самосвалы особо большой грузоподъемности (75...180 т), имеющие индивидуальный электропривод ведущих колес через механический редуктор.

Такая компоновка трансмиссии обуславливает некоторые особенности нагружения деталей привода ведущих колес, проявляющиеся, в частности, при движении автомобиля по криволинейной траектории. Если в механических трансмиссиях автомобилей в этом случае благодаря наличию симметричного межколесного дифференциала не происходит значительного изменения нагрузженности в приводах ведущих колес, то можно предположить, что при индивидуальных электроприводах из-за отсутствия дифференциальных механизмов нагрузки в каждом из них будут разными.

Эти предположения подтверждаются как непосредственными наблюдениями за показателями амперметров (на щитке приборов водителя), регистрирующими токи в цепях каждого из тяговых электродвигателей, так и результатами обработки осциллограмм с записями значений крутящих моментов на торсионных валах, связывающих тяговые электродвигатели с редукторами ведущих колес автомобиля.

Упомянутая обработка производилась для записей режимов прямолинейного движения автомобиля с последующим плавным переходом на криволинейное с переменным радиусом кривизны как на горизонтальных участках трассы, так и на участках с различными подъемами. Объектом исследований являлся БелАЗ-75191 (с грузом), эксплуатировавшийся на вывозе горной массы.

Целью обработки экспериментального материала было получение характеристик, показывающих соотношение крутящих моментов на торсионах внутреннего ( $M_{вн}$ ) и наружного ( $M_{н}$ ) относительно центра поворота ведущих колес в зависимости от радиуса кривизны траектории движения (радиуса поворота автомобиля  $R_a$ ).

Были получены две зависимости. Одна из них (рис. 1) характеризует изменение отношения крутящего момента, нагружающего торсионный вал при разных значениях радиуса поворота автомобиля ( $M_R$ ), к аналогичному моменту на прямолинейном участке трассы перед началом поворота ( $M_n$ ):

$$k_m = M_R / M_n . \quad (1)$$

Другая зависимость (рис. 2) характеризует соотношение крутящих моментов, действующих одновременно на торсионных валах внутреннего и наружного (относительно центра поворота) ведущих колес автомобиля, и токов ( $I_{вн}$ ,  $I_n$ ) в цепях соответствующих тяговых электродвигателей:

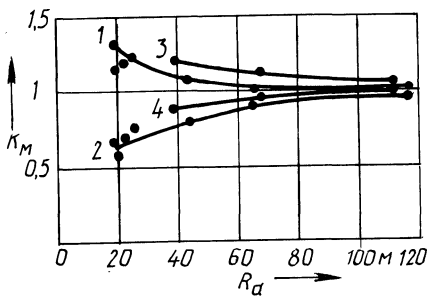


Рис. 1. Зависимость отношения крутящих моментов ( $k_M$ ) от радиуса поворота автомобиля ( $R_a$ ):

1...3 –  $k_M$  для внутреннего ведущего колеса (в двух реализациях); 2..4 –  $k_M$  для наружного ведущего колеса (в двух реализациях)

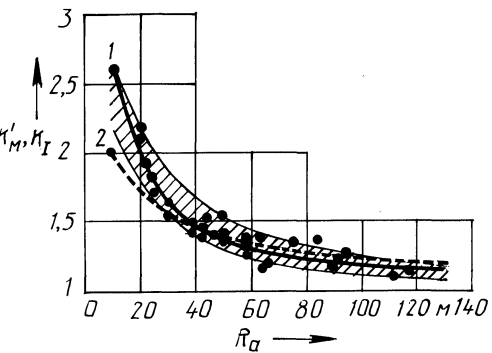


Рис. 2. Зависимость соотношений крутящих моментов ( $k'_M$ ) и токов в тяговых электродвигателях ( $k'_I$ ) от радиуса поворота автомобиля ( $R_a$ ):

1 –  $k'_M$  для крутящих моментов на торсионах; 2 –  $k'_I$  для токов

$$k'_M = M_{\text{вн}} / M_{\text{н}} \quad (2); \quad k'_I = I_{\text{вн}} / I_{\text{н}} . \quad (3)$$

С целью более достоверного представления зависимости  $k'_M$  от  $R_a$  на рис. 2, кроме базовой реализации (для горизонтального участка трассы), представлены в виде точек и заштрихованной зоны результаты обработки реализаций для других участков, имеющих различные подъемы. Полученные зависимости (1) и (2) показывают увеличение (на 25...35 %) и перераспределение механических нагрузок на торсионах и токов в тяговых электродвигателях (до 2,5 раз) с уменьшением радиуса поворота автомобиля. Формирование этого процесса обусловлено в меньшей мере (из-за относительно малой скорости движения 15...20 км/ч) влиянием факторов, связанных с устойчивостью и управляемостью автомобиля (действие инерционных и других сил на повороте), и в большей – отсутствием дифференциального механизма (механического или электрического) между ведущими колесами автомобиля.

Продолжительность пребывания автомобиля на участках поворотов может достигать 15...20 % от времени прохождения им всей трассы, что определяет необходимость учета возникающих при этом нагрузок.

Доля виражей в определенной общей трассе может быть оценена показателем извилистости трассы  $S_u$ , а общее влияние его на нагруженность связано со средними радиусами поворотов  $R_{\text{ср}}$ :

$$S_u = \frac{l_{v1} + l_{v2} + \dots + l_{vn}}{(l_1 + l_{v1}) + (l_2 + l_{v2}) + \dots + (l_{vn} + l_n)} , \quad (4)$$

где  $l_{v1}, l_{v2}, \dots, l_{vn}$  – длина виража соответственно в конце первого, второго и последующих прямолинейных участков трассы;  $l_1, l_2, \dots, l_n$  – длина прямолинейных участков трассы;

$$R_{\text{cp}} = \frac{R_{\text{в1}}\beta_1 + R_{\text{в2}}\beta_2 + \dots + R_{\text{вn}}\beta_n}{\beta_1 + \beta_2 + \dots + \beta_n} , \quad (5)$$

где  $\beta_1, \beta_2, \dots, \beta_n$  – углы поворота на соответствующем вираже;  $R_{\text{в1}}, R_{\text{в2}}, \dots, R_{\text{вn}}$  – радиусы поворотов на соответствующих виражах.

Факторы, обусловливающие и влияющие на нагруженность трансмиссии, могут быть установлены при рассмотрении силового баланса автомобиля.

Обычно уравнение силового баланса имеет вид

$$F_{\text{т}} = F_{\text{д}} + F_{\text{в}} + F_{\text{и}} , \quad (6)$$

где  $F_{\text{т}}$ ,  $F_{\text{д}}$ ,  $F_{\text{в}}$ ,  $F_{\text{и}}$  – соответственно силы тяги на ведущих колесах автомобиля, сопротивления дороги, воздуха, силы на преодоление инерции автомобиля.

В связи с тем что расчет работоспособности деталей трансмиссии производят чаще всего по значениям крутящих моментов, более удобным для практических целей будет использование уравнения баланса с составляющими, представленными в виде крутящих моментов. Причем эти моменты должны определяться не на ведущем колесе автомобиля, а на одной из деталей трансмиссии. Такой деталью, в частности, может быть торсионный вал, связывающий электродвигатель с редуктором мотор-колеса, так как именно на нем регистрируются передаваемые редуктору крутящие моменты.

Тогда выражение (6) может быть представлено в виде

$$M_{\text{т}} = M_{\text{д}} + M_{\text{в}} + M_{\text{и}} . \quad (7)$$

Однако в уравнениях баланса (6) и (7) не полностью учитываются факторы, с помощью которых определяется нагруженность трансмиссии автомобилей. Для получения преобразованного выражения (7), содержащего действительное число существенных факторов, следует принять во внимание определенные типовые особенности эксплуатации таких автомобилей в карьерах на вывозе горной массы. В первую очередь нужно иметь в виду следующее: 1) автомобили с грузом движутся в карьере в направлении от нижнего уровня к верхнему (на подъем); 2) на большей части любого участка трассы скорость движения автомобиля почти постоянна и близка к предельно возможной, определяемой подъемом соответствующего участка; 3) на виражах происходит перераспределение нагруженности приводов ведущих колес автомобиля (см. рис. 1, 2). С учетом этого выражение (7) имеет вид:

$$M_{\text{т.в}} = M_{\text{д}} + M_{\text{в}} - (M_{\text{ц}} + M_{\text{дф}}) ; \quad (8)$$

$$M_{\text{т.н}} = M_{\text{д}} + M_{\text{в}} + (M_{\text{ц}} - M_{\text{дф}}) \quad (9)$$

или после перегруппировки

$$M_{\text{т.в}} = M_{\text{д}} + M_{\text{в}} + (M_{\text{дф}} - M_{\text{ц}}) ; \quad (10)$$

$$M_{\text{т.н}} = M_{\text{д}} + M_{\text{в}} + (M_{\text{и}} - M_{\text{дф}}), \quad (11)$$

где  $M_{\text{т.в}}$ ,  $M_{\text{т.н}}$  – крутящие моменты соответственно на торсионе внутреннего и наружного ведущих колес (относительно центра поворота автомобиля);  $M_{\text{д}}$ ,  $M_{\text{в}}$ ,  $M_{\text{и}}$ ,  $M_{\text{дф}}$  – крутящие моменты, определяемые соответственно со-противлением дороги, воздуха, центробежными силами на повороте и завися-щие от наличия или отсутствия дифференциального механизма между ведуши-ми колесами.

Зависимости (10), (11) могут быть использованы в прочностных расчетах деталей трансмиссий. При детерминированных расчетах возможны аналитиче-ский [1] или графоаналитический методы [2]. Однако более достоверные ме-тоды расчетов основываются на представлении нагрузок в вероятностном виде. Согласно этому, и составляющие в уравнениях баланса (10), (11) должны быть пред-ставлены в вероятностном виде. Особенно это существенно для случаев дви-жения автомобиля по криволинейной траектории с непрерывно изменяю-щимся радиусом кривизны (такой случай наиболее распространен).

Результаты экспериментов позволяют представить уравнение баланса в ви-де суммы интегральных функций, соответствующих законам распределения Максвелла или Лапласа–Шарлье.

#### ЛИТЕРАТУРА

1. Зимелев Г.В. Теория автомобиля. – М.: Mashgiz, 1959. – 312 с. 2. Рев-ский В.Г., Беленков В.П. Определение расчетного крутящего момента в трансмис-сиях карьерных автомобилей-самосвалов номографическим способом // Автотракторо-строение. – Минск, 1977. – Вып. 9. – С. 23–26.

УДК 629.113

Б.У. БУСЕЛ, Д.А. ВЬЯЛЬ, С.Г. ЛУГОВЦЕВА (БПИ),  
В.И. МЕЛЕШ (БелАЗ)

#### РАСЧЕТ КОЛЕБАТЕЛЬНЫХ ПРОЦЕССОВ В ЭЛЕКТРОМОТОР-КОЛЕСАХ КАРЬЕРНОГО САМОСВАЛА

С целью исследования колебаний карьерных самосвалов БелАЗ с тяговым электроприводом были проведены специальные испытания. При движении по карьерным и асфальтобетонным дорогам регистрировались: вертикальные и продольные ускорения центра масс самосвала, неподпрессоренной массы веду-щего моста и на раме над ведущим мостом; крутящие моменты на торсион-ных валах редукторов; силы, действующие в цилиндрах подвески ведущего моста; токи в цепях тяговых электродвигателей; напряжение генератора; скорость движения самосвала.

Исследование колебательных процессов выполнялось методами спект-рального анализа. Полученные результаты позволили сделать ряд выводов, ха-рактеризующих механизм возбуждения и распространения колебаний в систе-ме самосвала, основными из которых являются следующие: колебания в мотор-колесах возбуждаются воздействием неровностей микропрофиля доро-ги; самосвал представляет собой взаимосвязанную электромеханическую сис-тему "подвеска–мотор-колеса–тяговый электропривод".